

] 10 5r •

KAWASAKI STEEL GIHO

Vol.8 (1976) No.1

-ç*x Ç'Ä p b K H A • d _66 M •%Ê'2

A Study on Deep Drawing and Ironing of Thin Cylindrical Container of Tin Plate

7?4Š ,e µ(Hideo Abe) j~Ôqg7?0îĐõ!q Y,dOE&6ª 8ç Y q Ag7?0î (Kichizaemon

0[" :
Y) ~ \ K H A • d _ | • È Ü Ë b-ç*x Ç'Ä p b • d _ > 8 Z>* Q b • d7H#ú _ > |
p M B g ² ó \ ! q"l ö b s8j _ X 8 Z#.1=\$x _ > | g 9,\$x _%Ê'2 K>* b B Y † " S
7H#ú) ~ š>&LDR>' \%Ú •7H#ú K H A } W"á lr* b0£'i) Y c 9,) Y \ | 8 M+ †&g K
S È Ü Ë b) ~ ö>& LDR>' c Ü å i Ç › î » í>& r í>' _ > v _ -4Ä I €• r í @ ±
A 8 o]>*) ~ š B0 @ ` 18 o]

does not only increase LDR, but also decrease the effects of r-value on Ir*, so that grain size of steel can be made small and the stretch flange formability is improved. The tin coating of 0.3 to 0.8 μ thickness on steel gives the maximum LDR, but the ironability is improved as the tin coating becomes thicker.

(c)JFE Steel Corporation, 2003

• e c b i t a ? } 7 O t [A r M

薄肉円筒容器のしごき加工に関する研究

A Study on Deep Drawing and Ironing of Thin .

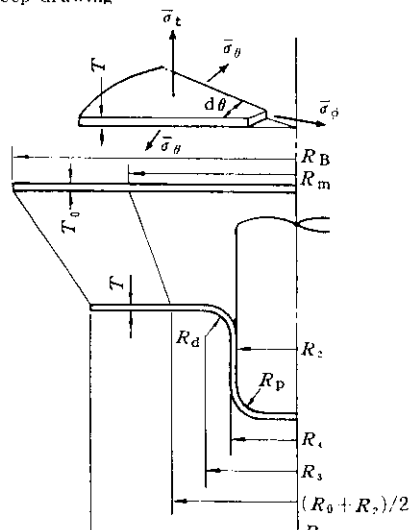
Hideo Abe

Kunio Kitamura

中川吉左衛門***

久々湊英雄***

(a) Deep drawing



(a)



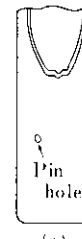
(b)



(c)



(d)



(e)



(f)

き加工軸方向応力 σ が成形中最大となるのは、絞り力 σ プレートがダイ入口に達したときである。した

ぼす r 値の効果やダイ肩部での曲げ、しわ押え力の効果が考慮されていなかったので、これらをすべて

アーチ形加工作業のつかれ度とこの状態を考慮して次の諸仮定に基づき近似解法により LDR

$$\frac{1}{K} \cdot \frac{1+r}{1+2r} \cdot \left[\frac{1}{n} \int \sqrt{1+2r} \sigma_{\text{eff}} d\sigma \right]^{n-1}$$

次にポンチ肩で破断するときの板厚 T_{fr} は、 $\varepsilon_s = 0$

$$\frac{\sqrt{1+2r}}{1+r} = 0 \quad \dots \dots \dots \quad (10)$$

まる。

$$T_{\text{fr}} = T_0 \exp(\varepsilon_s) = T_0$$

$$\cdot \exp \left\{ \frac{\sqrt{1+2r}}{1+r} \left(\frac{1}{K} \right)^{\frac{1}{n}} \left(\frac{\sqrt{1+2r} \sigma_{\text{eff}, \text{fr}} - \sigma_0}{1+r} \right)^{\frac{1}{n}} \right\} \dots \dots \dots \quad (18)$$

破断力 P_{fr} は

$$P_{\text{fr}} = 2\pi \left(R_2 + \frac{T_{\text{fr}}}{2} \right) T_{\text{fr}} \cdot \sigma_{\text{eff}, \text{fr}} \quad \dots \dots \dots \quad (19)$$

結局 (15)(16)(17) 式を B_0 , β_0 について解き, β_0 に関する P_{fr} の最大値 (最大絞り力) が (19) 式の

フランジ部の変形が均一であるとみなし、これら
の式で $\bar{\sigma}_s$, $\bar{\sigma}_d$, $\bar{\varepsilon}_s$, $\bar{\varepsilon}_d$, $\bar{\sigma}_{\text{eq}}$, $\bar{\varepsilon}_{\text{eq}}$ はそれぞれの平均値
であり、河合²⁴⁾と同様にフランジ平均半径位置
($R_0 + R_2$)/2 における値を用いる。その位置の変
形前の半径座標 R_m は体積一定の条件より

$$\pi(R_B^2 - R_m^2) T_0 = \pi \left\{ R_B^2 - \left(\frac{R_2 + R_0}{2} \right)^2 \right\} \cdot T \quad \dots \dots \dots \quad (11)$$

$\varepsilon = \ln R$ (20) $\sigma_b = 0, \varepsilon_t = 0$ の条件のもとで引張力を受ける。こ

$$T_d = T_0 \exp \varepsilon_t = T_0 \cdot B_0^{\frac{1}{1+r}} \quad \dots \dots \dots \quad (21)$$

$$n \cdot (K)^{\frac{1}{n}} \cdot \frac{1+r}{\sqrt{1+2r}} \cdot \frac{1}{p_{fr}} \cdot \left\{ \frac{\sqrt{1+2r} p_{fr} - \sigma_0}{1+r} \right\}^n$$

Punch diameter	$2R_2$ (mm)	33.00
Radius of punch shoulder	R_p (mm)	4.75
Half angle of die approach	θ (deg)	8.0
		0.0

Lubricants High viscosity mineral oil with EP
additions R.W. 50°C 1100sec

Ironing speed (mm/min) 500

次に LDR 以下の円形素板を用い絞りカップを作成し, Table 2 に示す条件にてしごき加工をし, 側壁板厚を10~80%圧下し各絞り比に対する

$$\gamma = (d - d_0) / d_0 \times 100 (\%) \dots \dots \dots (28)$$

4.2 供 試 材

うして本実験のブリキ板についてもそれが認められ

た。谷力が小さくなら、ダイル材料の間の摩擦 μ_2

る。春日ら⁸⁾の実験結果と合わせて考えればクリ

を増す方向に働き、ポンチと材料の間の摩擦 μ_2

得られる。

5・2 しごき加工限界について

因子が $(\mu_2 - \mu_1)/\tan\theta$ の形で θ に大きな影響を与える。とくに極端な例として、 $(\mu_2 - \mu_1)/\tan\theta > 1$ となると $\theta < 0$ (圧縮応力) となり理論上引張破

(25)式で求めた平均カップ高さ $\bar{H}_c = H_c + dH/2$

断が生じなくなるが、接触圧力 q が増大し工具破

から σ_0 は大きいほど、 K, n は小さいほど I_r^* は大きくなる。したがって歪の大きな範囲 ($\epsilon_{eq} > 1.0$) での加工硬化が小さな材料ほどしごき加工性にすくわづい、ステンレスが示唆される。 σ_0, K, n の影

場合 ($\epsilon_0 = 0, T_d = T_0$) には n 値が大きいほど I_r^* は増大し、福井らの結果と一致する。しかし、絞り加工を考慮すると $C_l/T_0 = 1.0, C_l \gg T_0$ の場合、 $n=0.1 \sim 0.3$ の範囲で n 値が大きいほど I_r^* が増

響も C_l, B_0 が大きいときに顕著であり、同時しごき加工、前しごき加工をした場合にはその影響は

少し、さらに前しごき加工 ($I_{r,p} = 30\%, 60\%$) すると、 $n=0.1 \sim 0.5$ の範囲で n 値が大きいほど

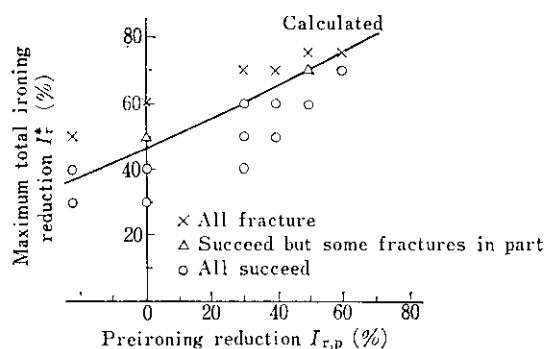
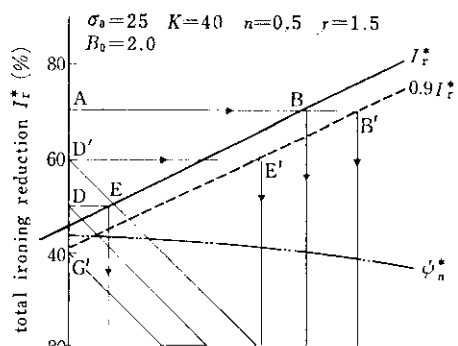
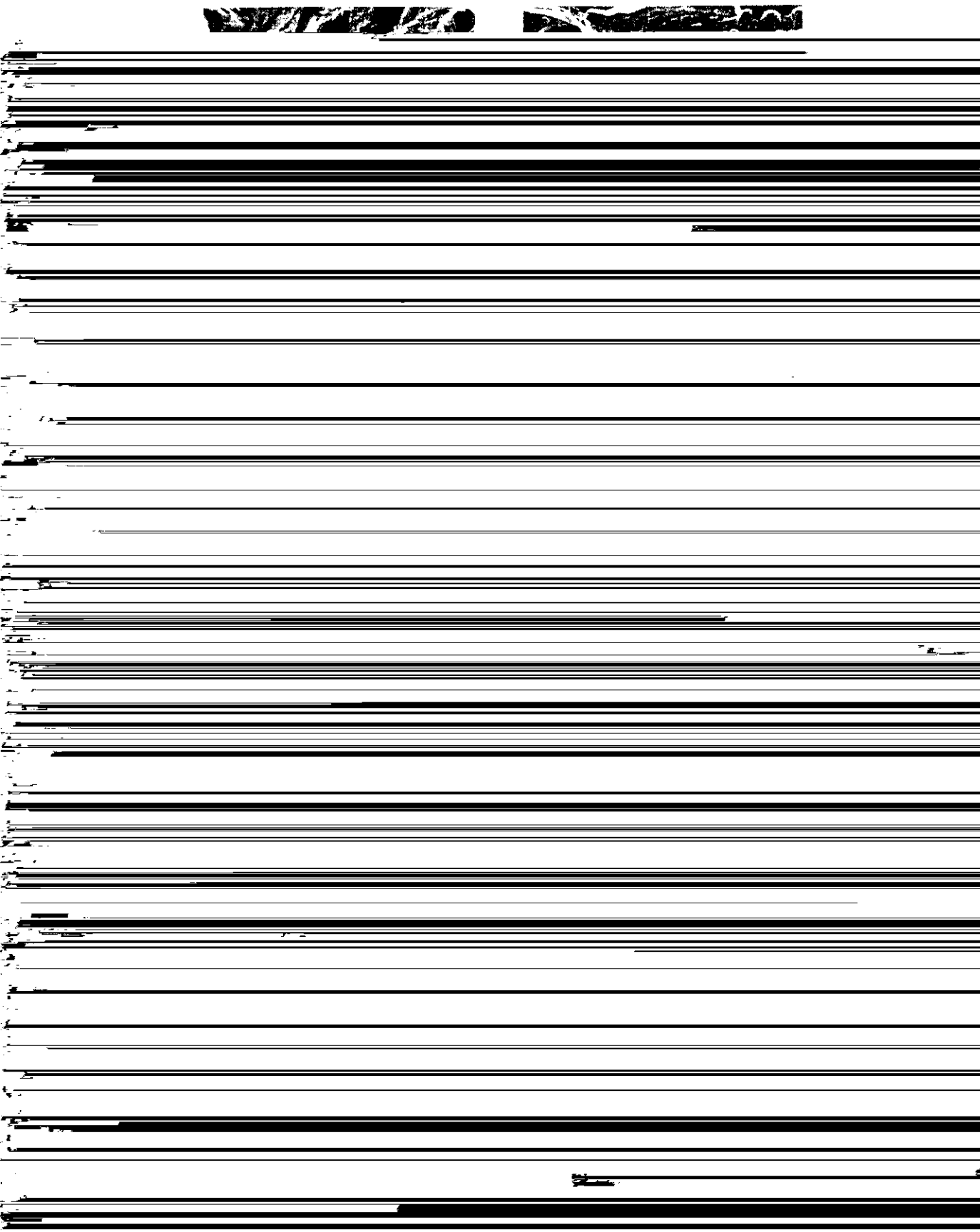


Fig. 14 Effect of maximum reduction







小さいほど I_r^* は向上する。歪の大きい範囲

性がすぐれていることが示唆される。均一な板厚

- 19) 福田：塑性と加工，5 (1964) 36, 3
20) 山田：日本機械学会誌，67 (1964) 542, 105

21) 宮川、島田・ゴリラ技術，7 (1960) 7, 161

22) 大田、安田・工業機械力学 (1961) 163 「差壓管」

- 23) R. Hill : J. Mech. Phys. Solids, 1 (1952) 1, 19
24) 河合：日本機械学会論文集，26 (1960) 166, 850
25) R. L. Whitely : Trans. ASM, 52 (1960), 154
26) 阿部、中川：川崎製鉄技報，5 (1963) 2, 210
27) H. T. Coupland & Wilson : Sheet Metal Ind., 35 (1958) 370, 85
28) 中間：塑性と加工，9 (1968) 93, 718
29) Wassermann : Texturen Metallischer Werkstoffe, Springer, (1962)